

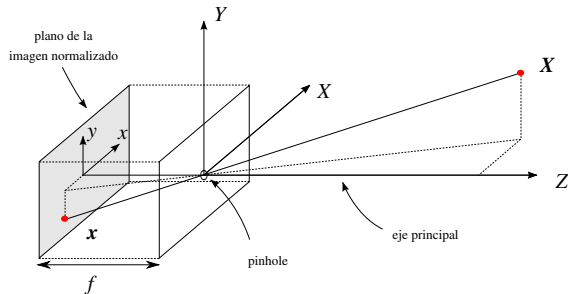
Modelo de cámara

Araguás, Gastón Redolfi, Javier

17 de abril del 2019

Modelo de cámara - pinhole

Proyección central - Proyección perspectiva



Por triángulos semejantes

$$-\frac{x}{f} = \frac{X}{Z} \quad -\frac{y}{f} = \frac{Y}{Z}$$

Modelo de cámara - pinhole

Proyección central - Proyección perspectiva

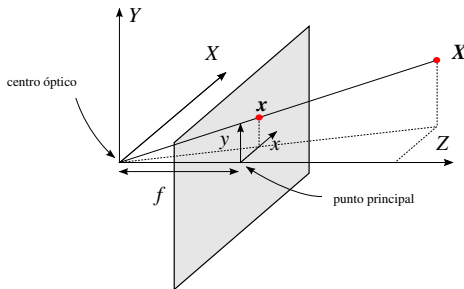


Imagen virtual en el plano $z = f$

$$\frac{x}{f} = \frac{X}{Z} \quad \frac{y}{f} = \frac{Y}{Z}$$

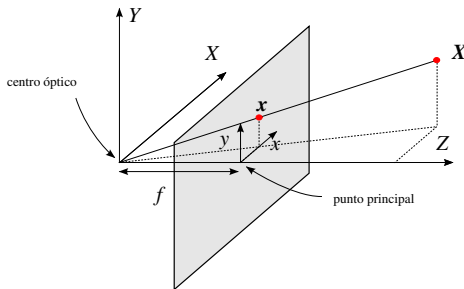
En coord. homogneas

$$\mathbf{X} = [X, Y, Z, 1]^T \Rightarrow \mathbf{x} = \left[f\frac{X}{Z}, f\frac{Y}{Z}, 1\right]^T = [fX, fY, Z]^T$$

Mapea $\mathbb{P}^3 \rightarrow \mathbb{P}^2$.

Modelo de cámara - pinhole

Proyección central - Proyección perspectiva



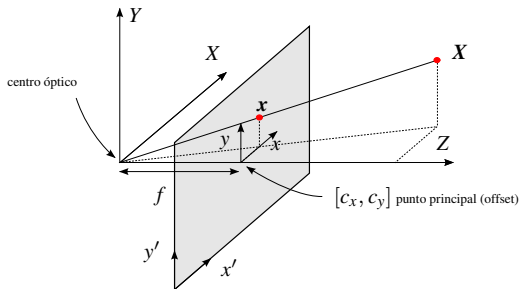
Matricialmente

$$\mathbf{x} = \begin{bmatrix} fX \\ fY \\ Z \end{bmatrix} = \begin{bmatrix} f & & 0 \\ & f & 0 \\ & & 1 & 0 \end{bmatrix} \begin{bmatrix} X \\ Y \\ Z \\ 1 \end{bmatrix} = P\mathbf{X}$$

con P una matriz de proyección de 3×4 llamada *matriz de la cámara*

Modelo de cámara - pinhole

Proyección central - Proyección perspectiva



Offset en el *punto principal*

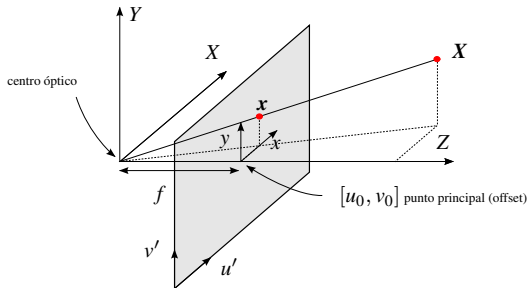
$$\mathbf{x}' = \left[f \frac{X}{Z} + c_x, f \frac{Y}{Z} + c_y, 1 \right]^T = \begin{bmatrix} f & c_x & 0 \\ f & c_y & 0 \\ 1 & 0 & 0 \end{bmatrix} \mathbf{X}$$

$$\mathbf{x}' = K[I|\mathbf{0}]\mathbf{X}$$

K es la **matriz de calibración** y (c_x, c_y) se llama **punto principal**.

Modelo de cámara - pinhole

Proyección central - Proyección perspectiva



Sistema de coordenadas en píxeles $m\mathbf{x}' = [xm_x, ym_y, 1]^T \rightarrow \mathbf{u}' = [u', v', 1]^T$

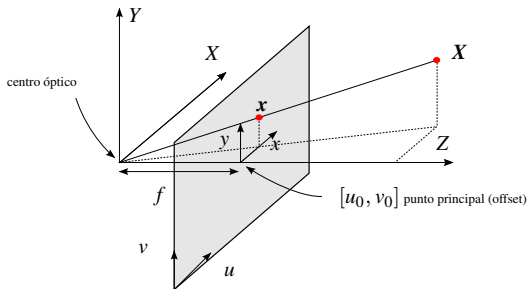
$$\mathbf{u}' = \left[f\frac{X}{Z}m_x + c_x m_x, f\frac{Y}{Z}m_y + c_y m_y, 1 \right]^T = \begin{bmatrix} \alpha_x & 0 & u_0 \\ 0 & \alpha_y & v_0 \\ 0 & 0 & 1 \end{bmatrix} [I|\mathbf{0}]\mathbf{X}$$

$$\mathbf{u}' = K[I|\mathbf{0}]\mathbf{X}$$

con $\alpha_x = fm_x$, $\alpha_y = fm_y$, $u_0 = c_x m_x$ y $v_0 = c_y m_y$ en píxeles.

Modelo de cámara - pinhole

Proyección central - Proyección perspectiva



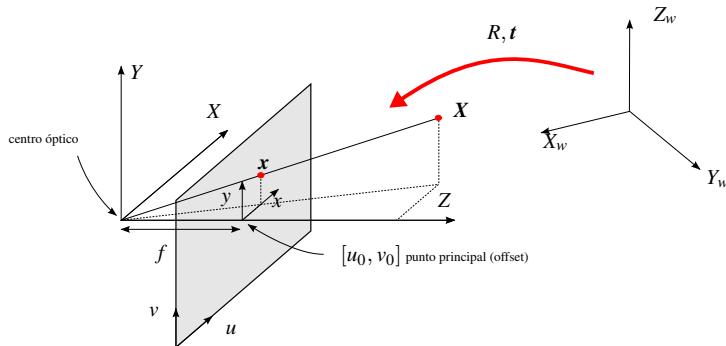
Ejes de la cámara no perpendiculares $\mathbf{u}' \rightarrow \mathbf{u} = [\mathbf{u}' + s\mathbf{v}', v', 1]^T$

$$\mathbf{u} = \left[\alpha_x \frac{X}{Z} + u_0 + s \left(\alpha_y \frac{Y}{Z} + v_0 \right), \alpha_y \frac{Y}{Z} + v_0, 1 \right]^T = \begin{bmatrix} \alpha_x & s & u_0 \\ 0 & \alpha_y & v_0 \\ 0 & 0 & 1 \end{bmatrix} [I|\mathbf{0}]X$$

$$\mathbf{u} = K[I|\mathbf{0}]X = PX$$

Modelo de cámara - pinhole

Proyección central - Proyección perspectiva



Rotación y traslación

$$X = \begin{bmatrix} R & t \\ \mathbf{0}^T & 1 \end{bmatrix} X_w$$

$$u = K[I|\mathbf{0}]X = K[R|t]X_w = PX_w$$

P tiene 11 GDL, 5 de la matriz K , 3 de la rotación (3D) y 3 de la traslación.

Modelo de cámara - pinhole

Distorciones ópticas

Sean \mathbf{x} y $\hat{\mathbf{x}}$ los puntos ideal y con distorsión

Distorsión radial

$$\hat{x} = x + x \left[k_1 (x^2 + y^2) + k_2 (x^2 + y^2)^2 \right]$$

$$\hat{y} = y + y \left[k_1 (x^2 + y^2) + k_2 (x^2 + y^2)^2 \right]$$

donde k_1 y k_2 son los **coeficientes de distorsión radial**; suponiendo para simplificar $s = 0$ y operando

$$\hat{u} = u + (u - u_0) \left[k_1 (x^2 + y^2) + k_2 (x^2 + y^2)^2 \right]$$

$$\hat{v} = v + (v - v_0) \left[k_1 (x^2 + y^2) + k_2 (x^2 + y^2)^2 \right]$$

Modelos más complejos contemplan k_3 , k_4 y k_5 , y p_1 , p_2 (**coeficientes de distorsión tangencial**).

Homografía entre plano e imagen

Sea \mathbf{X}^w un punto 3D sobre el plano $Z = 0$ en el sistema de coordenadas del mundo, entonces $\mathbf{X}^w = [X, Y, 0, 1]^T$

$$\mathbf{x} = K[\mathbf{r}_1 \ \mathbf{r}_2 \ \mathbf{r}_3 \ t]\mathbf{X}^w = K[\mathbf{r}_1 \ \mathbf{r}_2 \ t]\mathbf{x}^w = H\mathbf{x}^w$$

donde $\mathbf{x}^w = [X, Y, 1]^T$, por lo tanto

$$H = K[\mathbf{r}_1 \ \mathbf{r}_2 \ t]$$

es una homografía (matriz de 3×3)

¹Z. Zhang. A flexible new technique for camera calibration. *Pattern Analysis and Machine Intelligence*, IEEE Transactions on 2000.

Algoritmo

- Estimar H usando Direct Linear Transform (DLT)
- Usando varias imágenes se trata de minimizar:

$$\sum_i^N \sum_j^P d(\mathbf{x}_{ij}, \hat{\mathbf{x}}(K, k_1, k_2, R_i, \mathbf{t}_i, \mathbf{X}_j^w))$$

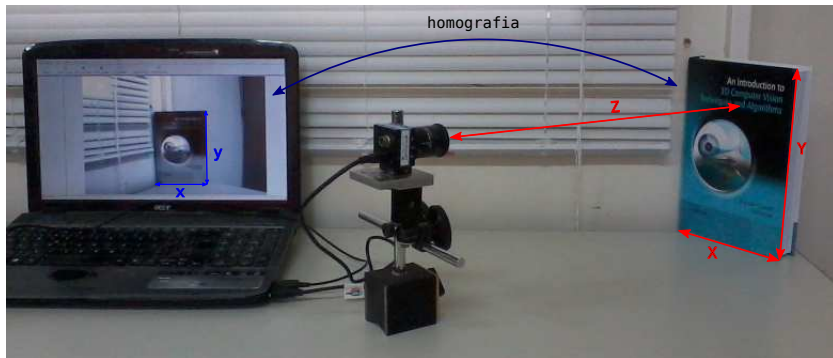
donde $\hat{\mathbf{x}}(K, k_1, k_2, R_i, \mathbf{t}_i, \mathbf{X}_j^w)$ es la proyección del punto 3D \mathbf{X}_j^w , en la i -ésima imagen

Cada imagen aporta 8 GDL, de los cuales 3 son de la rotación y 3 de la traslación, los dos restantes ajustan los parámetros intrínsecos.

Calibración

Calibración simple

Asumiendo $s = 0$ y sin considerar la distorsión de la lente...



$$\alpha_x = \frac{x}{X}Z \quad \alpha_y = \frac{y}{Y}Z \quad u_0 = w/2 \quad v_0 = h/2$$

Calibración

Calibración simple - Ejemplo

Calibración simple

$$K = \begin{bmatrix} 600 & 0 & 372 \\ 0 & 600 & 240 \\ 0 & 0 & 1 \end{bmatrix}$$
$$D = \begin{bmatrix} 0 & 0 & 0 & 0 & 0 \end{bmatrix}$$

Calibración completa (8 imágenes)

$$K = \begin{bmatrix} 611,47746477 & 0 & 432,3113038 \\ 0. & 613,15654266 & 208,46520386 \\ 0 & 0 & 1 \end{bmatrix}$$

$$D = \begin{bmatrix} -2,57e - 01 & 1,44e - 01 & -1,70e - 02 & 4,34e - 03 & 3,24e - 04 \end{bmatrix}$$